

Матан Лаба, вариант №18

Григорий Горбушкин, Евгений Турчанин

Вопрос 1

Составьте интегральную сумму для функции e^{3x} на отрезке $[0, 0.5]$

Введем равномерное разбиение отрезка $[0, 0.5]$ на n частей, то есть

$$x_k = \frac{k}{2n}, \quad k = 1, \dots, n. \quad (1)$$

Тогда интегральная сумма будет иметь вид

$$S_n = \sum_{k=1}^n f(x_k) \cdot \Delta x_k = \frac{1}{2n} \sum_{k=1}^n e^{\frac{3k}{2n}}, \quad (2)$$

Перепишем сумму для правых прямоугольников, для левых прямоугольников и для средних прямоугольников:

$$S_{\text{правая}} = \frac{1}{2n} \sum_{k=1}^n e^{\frac{3k}{2n}}, \quad (3)$$

$$S_{\text{левая}} = \frac{1}{2n} \sum_{k=0}^{n-1} e^{\frac{3k}{2n}}, \quad (4)$$

$$S_{\text{средняя}} = \frac{1}{2n} \sum_{k=1}^n e^{3 \frac{2k-1}{4n}}, \quad (5)$$

$$S_{\text{трапеции}} = \frac{1}{4n} \sum_{k=1}^n e^{3 \frac{k}{2n}} + e^{3 \frac{k-1}{2n}} = \frac{1}{4n} \left(e^{\frac{3}{2n}} + 1 \right) \sum_{k=1}^n e^{\frac{3(k-1)}{2n}}. \quad (6)$$

Вопрос 2

Вычислите пределы интегральных сумм при $n \rightarrow \infty$.

- $S_{\text{правая}} = \lim_{n \rightarrow +\infty} \frac{3 \frac{3}{2n} \cdot (e^{3/2} - 1)}{2n(e^{3/2n} - 1)} = \frac{e^{3/2} - 1}{3},$
- $S_{\text{левая}} = \lim_{n \rightarrow +\infty} \frac{(e^{3/2} - 1)}{2n(e^{3/2n} - 1)} = \frac{e^{3/2} - 1}{3},$
- $S_{\text{средняя}} = \lim_{n \rightarrow +\infty} \frac{e^{\frac{3}{4n}} (e^{3/2} - 1)}{2n(e^{3/2n} - 1)} = \frac{e^{3/2} - 1}{3},$
- $S_{\text{трапеции}} = \lim_{n \rightarrow +\infty} \frac{(e^{3/2n} + 1)(e^{3/2} - 1)}{4n(e^{3/2n} - 1)} = \frac{e^{3/2} - 1}{3}.$

Вопрос 3

Докажите, что интеграл существует

Функция e^{3x} непрерывна на отрезке $[0, 0.5]$, значит, по теореме о существовании интеграла Римана, интеграл существует.

Вопрос 4

Проверьте вычисление при помощи формулы Ньютона-Лейбница

$$\int_0^{0.5} e^{3x} dx = \left[\frac{e^{3x}}{3} \right]_0^{0.5} = \frac{e^{3/2} - 1}{3}$$

Вопрос 5

Вывести формулу для оценки погрешности.

Докажем формулы для погрешности:

1. Для правых прямоугольников покажем, что $|R_n| \leq \max_{x \in [a, b]} |f'(x)| \frac{(b-a)^2}{2n}$.

По Тейлору, для $x_k \in [x_k, x_{k+1}]$ найдется такое $\xi_k \in (x_k, x_{k+1})$, что $f(x) = f(x_k) + f'(\xi_k)(x - x_k)$, тогда

$$\int_{x_k}^{x_{k+1}} f(x) dx = f(x_k)(x_{k+1} - x_k) + \int_{x_k}^{x_{k+1}} f'(\xi_k)(x - x_k) dx$$

отсюда

$$\left| \int_{x_k}^{x_{k+1}} f dx - f(x_k)\Delta x_k \right| \leq \max_{\Delta_k} |f'(\xi_k)| \cdot \frac{(\Delta x_k)^2}{2}$$

Если $\Delta x_k = (b-a)/n$, то

$$\left| \int_a^b f dx - \sum_{k=1}^n f(x_k)\Delta x_k \right| \leq \sum_{k=1}^n \max_{\Delta_k} |f'(\xi_k)| \cdot \frac{(b-a)^2}{2n^2} \leq \max_{[a, b]} |f'(x)| \frac{(b-a)^2}{2n}$$

2. Для средних прямоугольников, покажем что $|R_n| \leq \max_{x \in [a, b]} |f''(x)| \frac{(b-a)^3}{24n^2}$.

Опять разложим в ряд Тейлора, но уже в окрестности средней точки, то вокруг $\frac{x_k + x_{k-1}}{2}$

$$\int_{x_{k-1}}^{x_k} f(x) dx = f(x_{cp})(x_k - x_{k-1}) + \int_{x_{k-1}}^{x_k} f'(x_{cp})(x - x_{cp}) dx + \int_{x_{k-1}}^{x_k} \frac{f''(\xi_k)(x - x_{cp})^2}{2} dx.$$

Попробуем обосновать разложение до второго порядка ~~кроме фразы, что в формуле есть вторая производная~~. Видно, что второй член зануляется (хотя бы из соображения симметрии), поэтому чтобы вычислить погрешность нужно раскладываться до 2-го порядка.

$$\left| \int_{x_{k-1}}^{x_k} f(x) dx - f(x_{cp})(x_k - x_{k-1}) \right| \leq \max_{\Delta_k} |f''(\xi_k)| \cdot \frac{(x_k - x_{k-1})^3}{24}.$$

Если $\Delta x_k = (b-a)/n$, то

$$\left| \int_a^b f(x) dx - \sum_{k=1}^n f(x_{cp})\Delta x_k \right| \leq \sum_{k=1}^n \max_{\Delta_k} |f''(\xi_k)| \cdot \frac{(x_k - x_{k-1})^3}{24} \leq \max_{[a, b]} |f''(x)| \frac{(b-a)^3}{24n^2}.$$

3. Для трапеций, покажем что $|R_n| \leq \max_{x \in [a, b]} |f''(x)| \frac{(b-a)^3}{12n^2}$.

Разложим в ряд Тейлора в окрестности x_{k-1}

$$f(x_k) = f(x_{k-1}) + f'(x_{k-1})(x_k - x_{k-1}) + \frac{f''(\xi_k)(x_k - x_{k-1})^2}{2},$$

теперь ~~не будем~~ подставим это в формулу для трапеции

$$\frac{x_k - x_{k-1}}{2} (f(x_k) + f(x_{k-1})) = \frac{x_k - x_{k-1}}{2} \left(2f(x_{k-1}) + f'(x_{k-1})(x_k - x_{k-1}) + \frac{f''(\xi_k)(x_k - x_{k-1})^2}{2} \right),$$

распишем интеграл в его ~~prime~~ форме

$$\int_{x_{k-1}}^{x_k} f(x) dx = f(x_{k-1})\Delta x_k + \int_{x_{k-1}}^{x_k} f'(x_{k-1})(x - x_{k-1}) dx + \int_{x_{k-1}}^{x_k} \frac{f''(\xi_k^*)(x - x_{k-1})^2}{2} dx.$$

Тогда их разность будет равна

$$\left| \int_{x_{k-1}}^{x_k} f(x) dx - \frac{x_k - x_{k-1}}{2} (f(x_k) + f(x_{k-1})) \right| = \left| f''(\xi_k^*) \frac{x_k - x_{k-1}}{6} - f''(\xi_k) \frac{x_k - x_{k-1}}{4} \right|$$

тогда если $\Delta x_k = (b - a)/n$, то

$$\left| \int_a^b f(x) dx - \sum_{k=1}^n \frac{x_k - x_{k-1}}{2} (f(x_k) + f(x_{k-1})) \right| \leq \max_{\xi \in [a, b]} |f''(\xi)| \frac{(b - a)^3}{12n^2}.$$

Вопрос 6

Найдите погрешность оценки, сравните ее с теоретической погрешностью

1. Погрешность для правых/левых прямоугольников

$$|R_n| \leq \max_{x \in [a, b]} |f'(x)| \frac{(b - a)^2}{2n} = \max_{x \in [0, 0.5]} |3e^{3x}| \frac{0.5^2}{2n} = \frac{3e^{1.5}}{8n},$$

тогда для $n=10$ погрешность будет равна 0.168, для $n=100$ погрешность будет равна 0.0168

2. Погрешность для средних прямоугольников

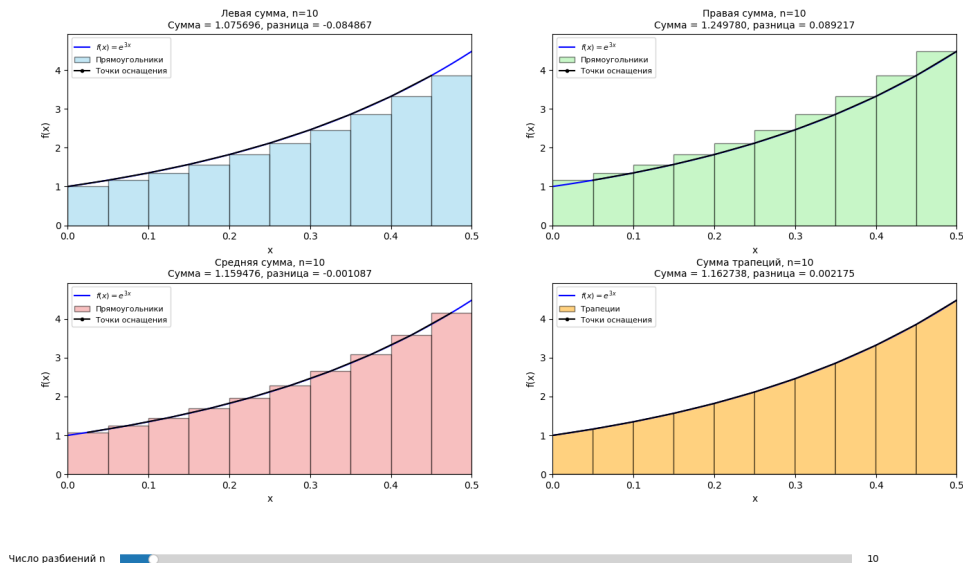
$$|R_n| \leq \max_{x \in [a, b]} |f''(x)| \frac{(b - a)^3}{24n^2} = \max_{x \in [0, 0.5]} |9e^{3x}| \frac{0.5^3}{24n^2} = \frac{9e^{1.5}}{192n^2}$$

тогда для $n=10$ погрешность будет равна 0.042, для $n=100$ погрешность будет равна 0.00042

3. Погрешность для трапеций

$$|R_n| \leq \max_{x \in [a, b]} |f''(x)| \frac{(b - a)^3}{12n^2} = \max_{x \in [0, 0.5]} |9e^{3x}| \frac{0.5^3}{12n^2} = \frac{9e^{1.5}}{96n^2}$$

тогда для $n=10$ погрешность будет равна 0.063, для $n=100$ погрешность будет равна 0.00063



... дальше Григорий

Маятник.

Малые колебания

Исследование теоретического изменения угла от практического

Для эксперимента была использована нить, длиной $L = 0.94$ м. В таком случае, теоретическая частота

$$\omega = \sqrt{\frac{g}{L}} = \sqrt{\frac{9.82}{0.94}} \approx 3.23 \text{ с}^{-1}$$

Тогда, теоретическая зависимость угла от времени: $\theta = \theta_0 \cos(\omega t)$

Начальные углы в каждой серии:

1 серия (малые углы)	2 серия (малые углы)	3 серия (малые углы)	1 серия (большие углы)	2 серия (большие углы)	3 серия (большие углы)
$\theta_0 = 14.61^\circ$	$\theta_0 = 6.22^\circ$	$\theta_0 = 13.69^\circ$	$\theta_0 = 54.72^\circ$	$\theta_0 = 55.00^\circ$	$\theta_0 = 43.20^\circ$

Таблица 1: Начальные углы

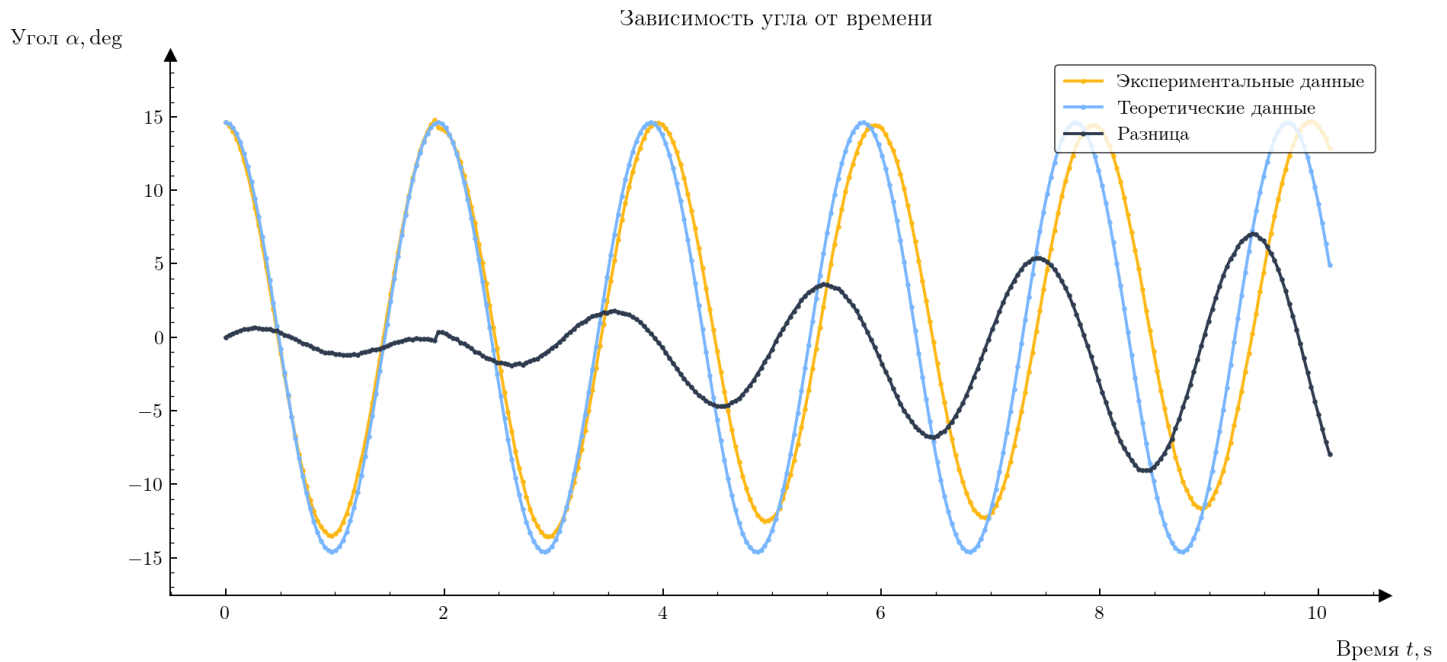


Рис. 1: 1 серия

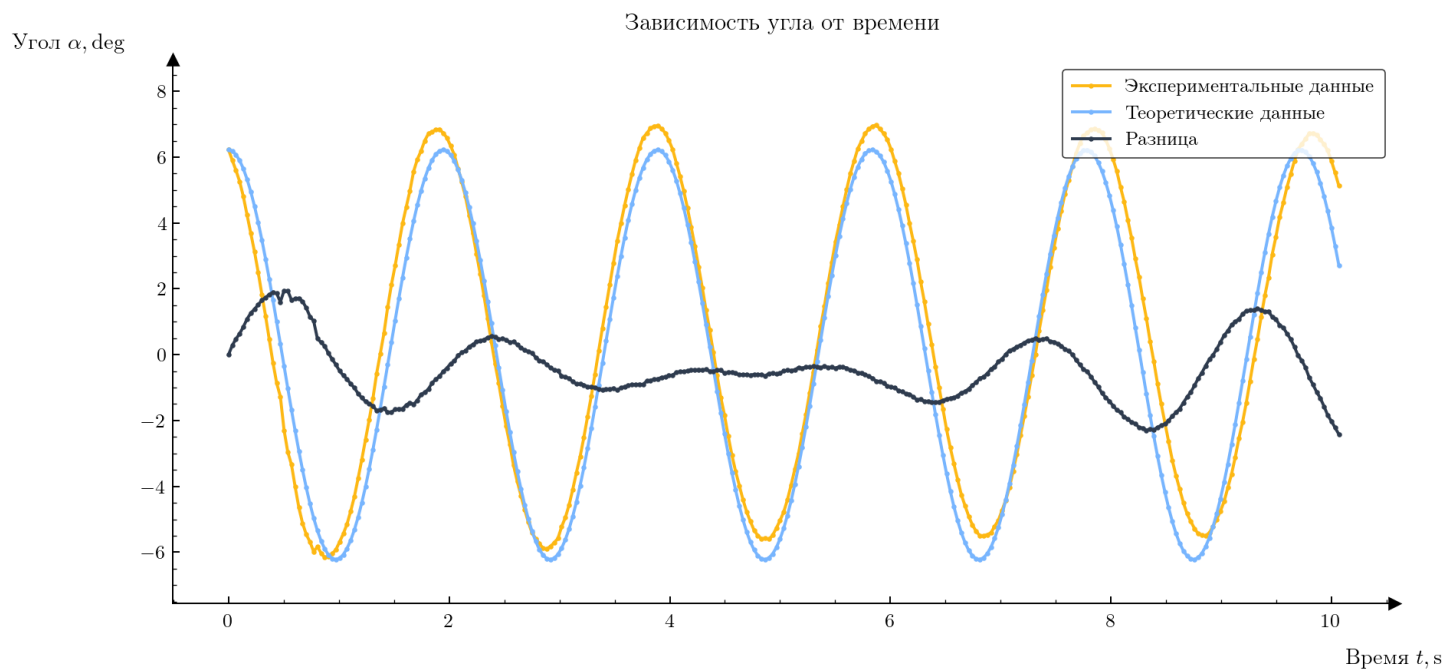


Рис. 2: 2 серия

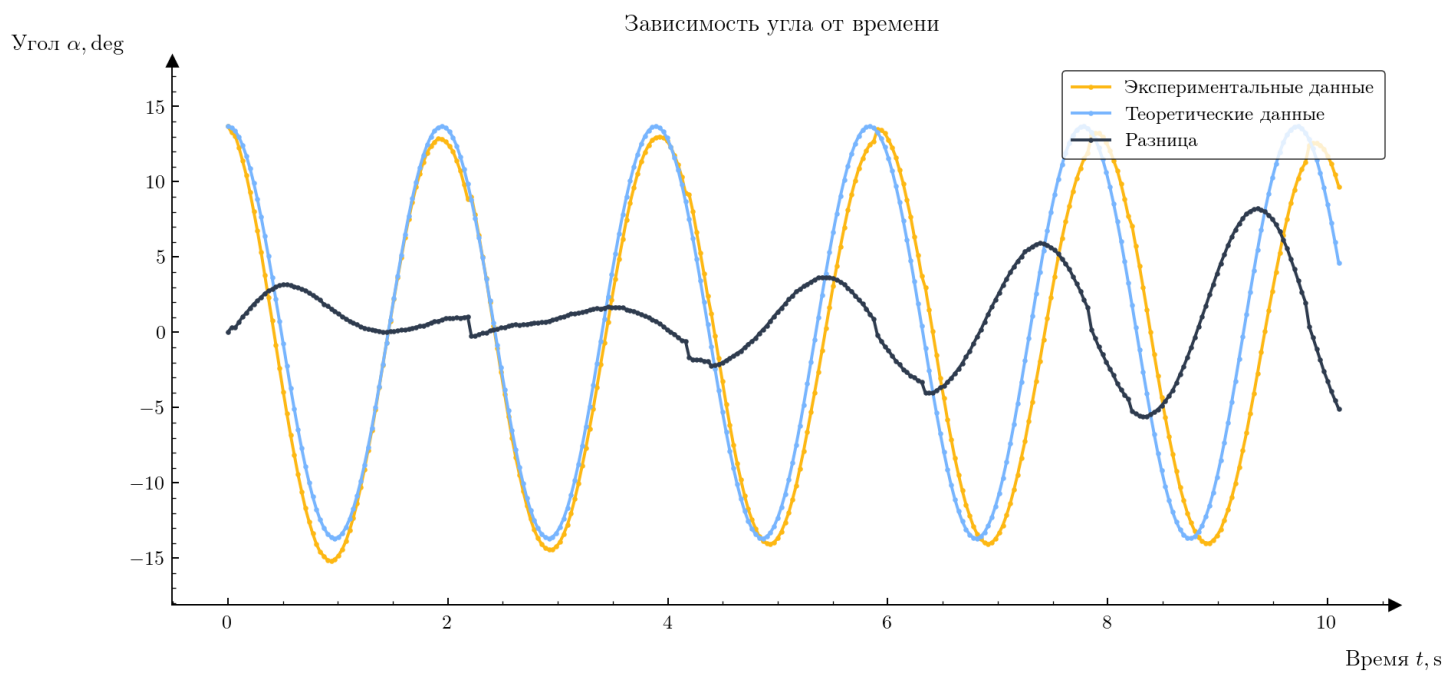


Рис. 3: 3 серия

Исследование изменения теоретического периода от практического

Теоретически, период колебаний будет рассчитываться как $T = 2\pi\sqrt{\frac{l}{g}} = 1.94 \text{ с}$

Для серий эти периоды были равны (вычисляем как время 5 колебаний деленное на 5):

$$T_1 \approx 2.10 \text{ с } T_2 \approx 2.19 \text{ с } T_3 \approx 2.01 \text{ с}$$

Объяснение перехода в (3)

$$\begin{aligned} \dot{\theta} &= \pm \omega \sqrt{\theta_0^2 - \theta^2} \\ \frac{d\theta}{dt} &= \pm \omega \sqrt{\theta_0^2 - \theta^2} \\ \frac{d\theta}{\sqrt{\theta_0^2 - \theta^2}} &= \pm \omega dt \\ \int_{\theta_0}^{\theta} \frac{d\theta}{\sqrt{\theta_0^2 - \theta^2}} &= \arcsin \frac{\theta}{\theta_0} \Big|_{\theta=\theta_0}^{\theta} = \arcsin \frac{\theta}{\theta_0} - \arcsin \frac{\theta_0}{\theta_0} = \arcsin \frac{\theta}{\theta_0} - \frac{\pi}{2} \\ \int_0^t \pm \omega dt &= \pm \omega t \Rightarrow \frac{\theta}{\theta_0} = \sin \left(\pm \omega t + \frac{\pi}{2} \right) = \cos(\omega t) \text{ Ч.Т.Д.} \end{aligned}$$

Оценка погрешностей

У нас имеется три серии, в которых теоретически период должен быть одинаковый. Среднее значение практического периода колебания:

$$\begin{aligned} \bar{T} &= \frac{\sum T}{3} = 2.10 \text{ с} \\ \Delta t &= \sqrt{t_{0.9;3}^2 \frac{\sum (T_i - \bar{T})^2}{6} + \Delta t_{\text{пр}}^2} = 0.18 \text{ с} \\ \varepsilon_t &= 8.6 \% \end{aligned}$$

Тогда, значение T с доверительным интервалом:

$$T = 2.10 \pm 0.18 \text{ с}$$

Выводы: Теоретическое значение (1,94 с) не лежит в доверительном интервале полученного практически значения. Данное отличие может быть обусловлено наличием вязкого трения, т.к. при наличии такого трения уменьшается частота колебаний \Rightarrow увеличивается период колебаний. Кроме того, не все колебания получились "идеально" малыми - двух из трех экспериментах угол чуть больше 10° .

Анализируя графики различия теоретического изменения угла от практически полученного можно наблюдать, что чем дольше идет наблюдение, тем больше погрешность. Если вначале это может быть связано с приближениями мат. модели, то в конце большее влияние на погрешность поведения угла оказывает как раз различие в периоде.

Нелинейные колебания

Исследование теоретического периода от практического

Используя значения начальных углов в таблице, найдем теоретическое значение периода колебания (вычисляем интеграл по сумме средних прямоугольников)

$$T_1 = 2.02 \text{ с}$$

$$T_2 = 2.02 \text{ с}$$

$$T_3 = 2.01 \text{ с}$$

Графики зависимости практического изменения угла от времени:

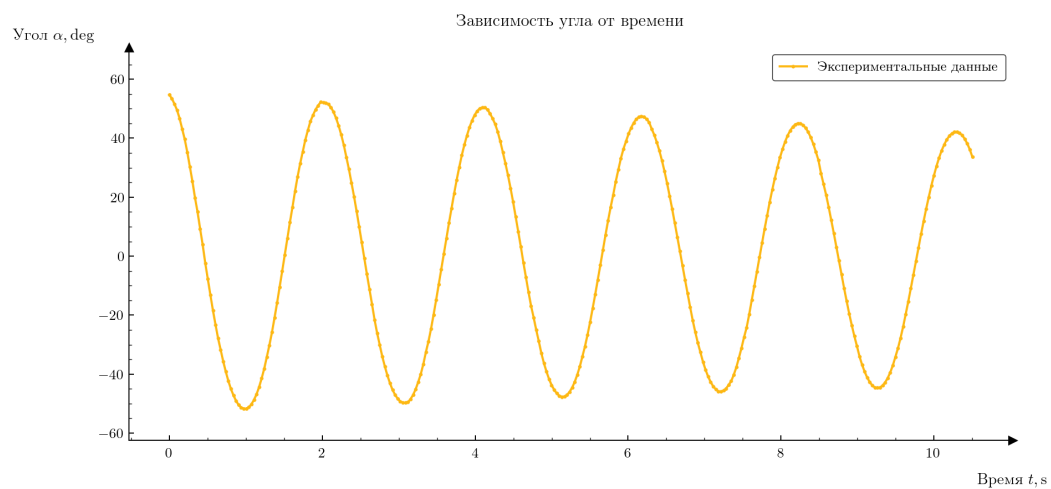


Рис. 4: $\theta_0 = 54.72^\circ$

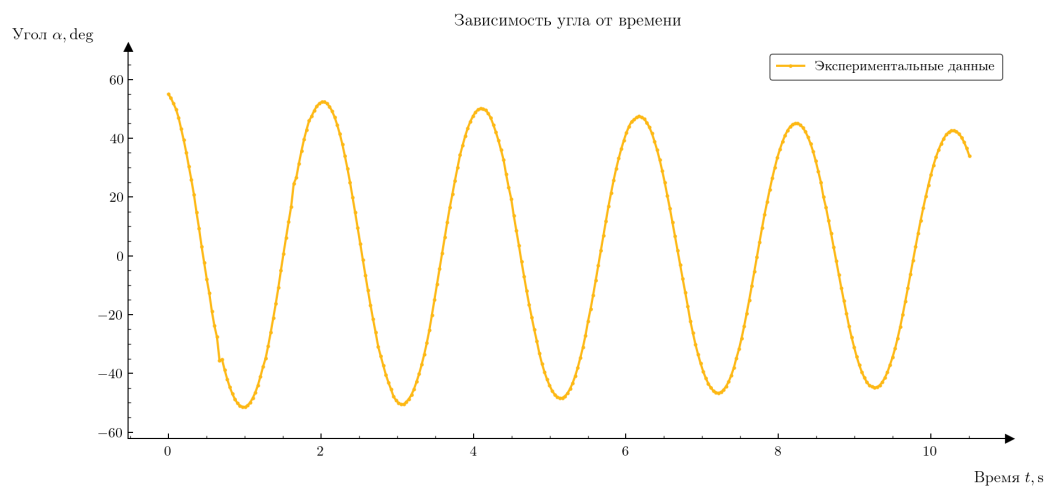


Рис. 5: $\theta_0 = 55.00^\circ$

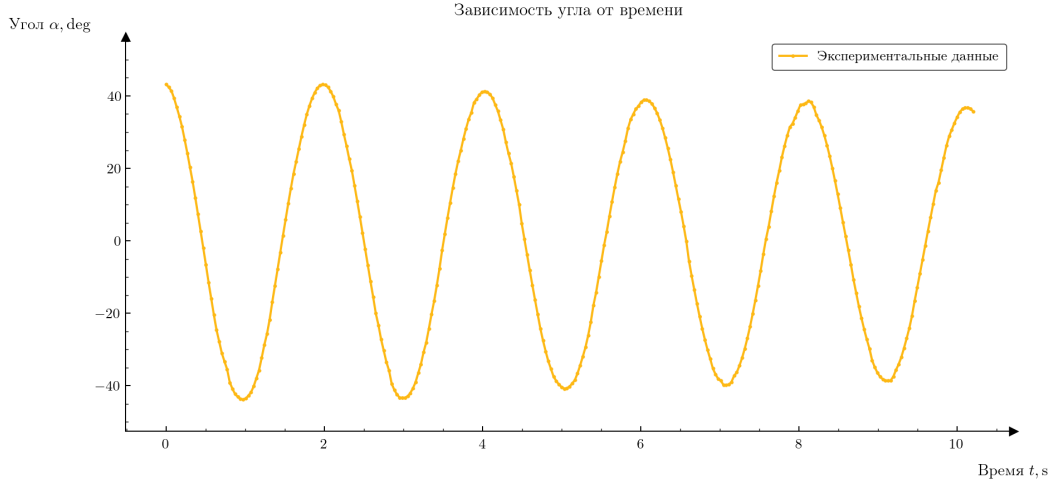


Рис. 6: $\theta_0 = 43.20^\circ$

Практически полученное значение периода колебаний от времени:

$$T_{1\text{прак}} = 2.06 \text{ с}$$

$$T_{2\text{прак}} = 2.06 \text{ с}$$

$$T_{3\text{прак}} = 2.02 \text{ с}$$

Таким образом, отличие теоретического периода от практического:

$$\Delta_1 = 0.04 \text{ с}$$

$$\Delta_2 = 0.04 \text{ с}$$

$$\Delta_3 = 0.01 \text{ с}$$

Доказательство формулы (6)

$$\cos \theta - \cos \theta_0 = 2 \sin^2 \left(\frac{\theta_0}{2} \right) - 2 \sin^2 \left(\frac{\theta}{2} \right) = 2k^2 - 2 \sin^2 \left(\frac{\theta}{2} \right) \quad (7)$$

где введено обозначение $k \equiv \sin \left(\frac{\theta_0}{2} \right)$.

Введём новую переменную u через соотношение:

$$\sin u = \frac{\sin \left(\frac{\theta}{2} \right)}{k} \quad (8)$$

Продифференцируем подстановку:

$$\cos u \, du = \frac{\cos \left(\frac{\theta}{2} \right)}{2k} \, d\theta \quad (9)$$

$$d\theta = \frac{2k \cos u}{\cos \left(\frac{\theta}{2} \right)} \, du \quad (10)$$

Учитывая, что $\cos \left(\frac{\theta}{2} \right) = \sqrt{1 - k^2 \sin^2 u}$, получаем:

$$d\theta = \frac{2k \cos u}{\sqrt{1 - k^2 \sin^2 u}} \, du \quad (11)$$

Используя (7), выразим знаменатель:

$$\sqrt{\cos \theta - \cos \theta_0} = \sqrt{2} \sqrt{k^2 - \sin^2 \left(\frac{\theta}{2} \right)} = \sqrt{2} k \sqrt{1 - \sin^2 u} = \sqrt{2} k \cos u \quad (12)$$

$$\int \frac{d\theta}{\sqrt{\cos \theta - \cos \theta_0}} = \int \frac{1}{\sqrt{2k \cos u}} \cdot \frac{2k \cos u}{\sqrt{1 - k^2 \sin^2 u}} du = \sqrt{2} \int \frac{du}{\sqrt{1 - k^2 \sin^2 u}} \quad (13)$$

- При $\theta = 0$: $\sin u = 0 \Rightarrow u = 0$
- При $\theta = \theta_0$: $\sin u = 1 \Rightarrow u = \frac{\pi}{2}$

Итоговое преобразование

$$\int_0^{\theta_0} \frac{d\theta}{\sqrt{\cos \theta - \cos \theta_0}} = \sqrt{2} \int_0^{\pi/2} \frac{du}{\sqrt{1 - k^2 \sin^2 u}} = \sqrt{2} F\left(\frac{\pi}{2}, k\right) \quad (14)$$

где $F(\varphi, k)$ – неполный эллиптический интеграл первого рода.

Вычисление эллиптического интеграла

$$K(k) = \int_0^{\pi/2} \frac{du}{\sqrt{1 - k^2 \sin^2 u}} = \frac{\pi}{2} \sum_{n=0}^{\infty} \left(\frac{(2n-1)!!}{(2n)!!} k^n \right)^2, \quad (-1)!! = 1.$$

$$K(\sin 0.96) = \int_0^{\pi/2} \frac{du}{\sqrt{1 - k^2 \sin^2 u}} = \frac{\pi}{2} \left(\left(\frac{(-1)!!}{(0)!!} \cdot \sin^0(0.96) \right)^2 + \left(\frac{(2-1)!!}{(2)!!} \cdot \sin(0.96) \right)^2 \right) = 1.83, \quad n = 1$$

$$K(\sin 0.96) = \int_0^{\pi/2} \frac{du}{\sqrt{1 - k^2 \sin^2 u}} = 1.93, \quad n = 2$$

$$K(\sin 0.96) = \int_0^{\pi/2} \frac{du}{\sqrt{1 - k^2 \sin^2 u}} = 1.98, \quad n = 3$$

$$K(\sin 0.75) = \int_0^{\pi/2} \frac{du}{\sqrt{1 - k^2 \sin^2 u}} = \frac{\pi}{2} \left(\left(\frac{(-1)!!}{(0)!!} \cdot \sin^0(0.96) \right)^2 + \left(\frac{(2-1)!!}{(2)!!} \cdot \sin(0.96) \right)^2 \right) = 1.75, \quad n = 1$$

$$K(\sin 0.75) = \int_0^{\pi/2} \frac{du}{\sqrt{1 - k^2 \sin^2 u}} = 1.80, \quad n = 2$$

$$K(\sin 0.75) = \int_0^{\pi/2} \frac{du}{\sqrt{1 - k^2 \sin^2 u}} = 1.81, \quad n = 3$$

Можно сделать вывод, что при использовании трех слагаемых сумма стремительно приближается к вычисленному численно значению интеграла (это очень круто).

Итоговые погрешности

$$\left(\frac{1}{\sqrt{\cos \theta - \cos \theta_0}} \right)'' = \frac{3 \sin^2 \theta}{4(\cos \theta - \cos \theta_0)^{5/2}} + \frac{\cos \theta}{2(\cos \theta - \cos \theta_0)^{3/2}}$$

Очевидно, что максимум значения этой производной при $\theta \rightarrow \theta_0$. Тогда, для:

$$\theta_0 = 0.75$$

Чтобы избавиться от особенностей, делаем замену:

$t = \sqrt{0.75 - \theta}$. Тогда исходный интеграл и его вторая производная принимают следующий вид:

$$\left(\frac{t}{\sqrt{\cos(0.75 - t^2) - \cos 0.75}} \right)'' =$$

$$f''(t) = \frac{-2u \cdot (2t \sin \phi) - t \cdot (2 \sin \phi + 4t^2 \cos \phi) \cdot u + \frac{3}{2}t \cdot (2t \sin \phi)^2}{u^{5/2}}$$

где:

- $u = \cos(0.75 - t^2) - \cos 0.75$,
- $\phi = 0.75 - t^2$.

В этом случае, погрешность вычисленного интеграла $|R_n| \approx 3 \cdot 10^{-7}$

Аналогично делаем для $\theta \approx 0.96$. В этом случае замена: $t = \sqrt{0.75 - \theta}$. В этом случае, погрешность составит $|R_n| \approx 9 \cdot 10^{-7}$